

С. 105 – 132.

5. Фомин В.М., Платунов А.С. Метод совершенствования показателей работы бензинового двигателя с внутренним смесеобразованием // М.: Известия МГТУ «МАМИ». – № 2 (12) 2011. – С. 84-95.
6. Фомин В.М., Каменев В.Ф., Хрипач Н.А. Теоретические и экспериментальные исследования работы двигателя на водородно-дизельных топливных композициях // International Scientific Journal for Alternative Energy and Ecology ISJAEE. № 7. 2005. – С. 32-42.
7. Фомин В.М., Атраш Рами. Улучшение показателей работы дизеля на бинарном биоуглеводородном топливе // Транспорт на альтернативном топливе. № 5 (29). 2012. – С. 36-40.

Метод статистической линеаризации в динамике нелинейных систем мобильных машин

д.т.н. проф. Гусев А.С., к.т.н. проф. Щербаков В.И., доц. Чуканин Ю.П.,
к.т.н. доц. Стародубцева С.А.
МГТУ им. Н.Э. Баумана, Университет машиностроения,
8(499)-223-05-23, доб. 14-57; sopr@mami.ru

Аннотация. Рассматривается метод статистической линеаризации применительно к нелинейным динамическим системам мобильных машин с несколькими степенями свободы.

Ключевые слова: случайный процесс, нелинейная динамическая система, статистическая линеаризация, корреляционная функция, спектральная плотность, дисперсия.

Методы расчета линейных динамических систем мобильных машин на случайные воздействия к настоящему времени хорошо разработаны [1, 2, 3]. При аналитическом расчете же нелинейных систем часто возникают почти непреодолимые вычислительные трудности. Наиболее эффективным (приближенным) методом расчета таких систем является метод статистической линеаризации [2]. Рассмотрим использование этого метода для расчета нелинейных систем с конечным числом степеней свободы, функционирование которых описывается следующим матричным дифференциальным уравнением вида:

$$L(p) \cdot \vec{q}(t) + \vec{\varphi}(q) = \vec{f}(t) \quad (1)$$

где: $L(p)$ – матрица линейных дифференциальных операторов ($p = d/dt$);

$\vec{q}(t) = [q_1, q_2, \dots, q_n]^T$ – вектор обобщенных координат;

n – число степеней свободы системы;

$\vec{\varphi}(\vec{q})$ – нелинейная вектор-функция сил сопротивления;

$\vec{f}(t)$ – вектор гауссовских стационарных процессов внешних воздействий с нулевыми средними значениями и заданными спектральными плотностями в виде матрицы:

$$S_{\vec{f}}(\omega) = [S_{f_\alpha f_\beta}(\omega)], \quad (\alpha, \beta = 1, 2, \dots, n). \quad (2)$$

Задача состоит в определении матрицы спектральных плотностей выходных процессов $\vec{q}(t)$

$$S_{\vec{q}}(\omega) = [S_{q_k q_j}(\omega)], \quad (k, j = 1, 2, \dots, n). \quad (3)$$

Применим к уравнению (1) метод статистической линеаризации, суть которого состоит в замене нелинейной функции $\vec{\varphi}(\vec{q})$ на линейную $\vec{\varphi}_0(\vec{q}) = C \cdot \vec{q}$, где матрица коэффициентов линеаризации $C = [c_{kj}]$ подлежит определению по какому-либо критерию, определяющему близость векторов $\vec{\varphi}$ и $\vec{\varphi}_0$.

Получаем линеаризованное уравнение вида:

$$[L(p) + C] \cdot \vec{q}(t) = \vec{f}(t). \quad (4)$$

Матрица передаточных функций от внешних воздействий $\vec{f}(t)$ к выходным процессам $\vec{q}(t)$ на основе уравнения (4) определяется как:

$$H(i\omega) = [H_{kj}(i\omega)] = [L(i\omega) + C]^{-1}. \quad (5)$$

Тогда для определения искомой матрицы (3) имеем формулу в матричном виде:

$$S_{\vec{q}}(\omega) = H(-i\omega) \cdot S_{\vec{f}}(\omega) \cdot H^T(i\omega) \quad (6)$$

или в скалярном виде:

$$S_{q_k q_j}(\omega) = \sum_{\alpha=1}^n \sum_{\beta=1}^n H_{k\alpha}(-i\omega) \cdot H_{j\beta}(i\omega) \cdot S_{f_{\alpha} f_{\beta}}(\omega). \quad (7)$$

Корреляционные моменты компонент вектора $\vec{q}(t)$ будут определяться по формуле:

$$s_{q_k q_j} = \langle q_k q_j \rangle = \int_{-\infty}^{\infty} S_{q_k q_j}(\omega) d\omega, \quad (8)$$

где: $\langle \dots \rangle$ – оператор усреднения.

Для определения матрицы C используем критерий минимума среднего квадрата отклонения, выраженного как:

$$J = \langle (\vec{\varphi} - C\vec{q})^T \cdot (\vec{\varphi} - C\vec{q}) \rangle = \langle \vec{\varphi}^T \vec{\varphi} - \vec{q}^T C^T \vec{\varphi} - \vec{\varphi}^T C \vec{q} + \vec{q}^T C^T C \vec{q} \rangle \rightarrow \min. \quad (9)$$

При реализации этого критерия воспользуемся следующими формулами для вычисления производных произведения матриц по матрице:

$$\frac{d}{dC}(ABC) = (BA)^T \rightarrow \frac{d}{dC}(\vec{\varphi}^T C \vec{q}) = \vec{\varphi} \vec{q}^T; \quad (10)$$

$$\frac{d}{dC}(AC^T B) = (BA) \rightarrow \frac{d}{dC}(\vec{q}^T C^T \vec{\varphi}) = \vec{\varphi} \vec{q}^T; \quad (11)$$

$$\frac{d}{dC}(AC^T CD) = CDA + CA^T D^T \rightarrow \frac{d}{dC}(\vec{q}^T C^T C \vec{q}) = 2C \vec{q} \vec{q}^T. \quad (12)$$

Из условия $\frac{dJ}{dC} = 0$ получаем:

$$C = \langle \vec{\varphi} \vec{q}^T \rangle \cdot \langle \vec{q} \vec{q}^T \rangle^{-1}. \quad (13)$$

Заметим, что для систем с одной степенью свободы формула (13) принимает вид:

$$c = \frac{\langle \varphi q \rangle}{\langle q^2 \rangle}.$$

Из соотношения (13) следует, что элементы матрицы C выражаются через корреляционные моменты вектора $\vec{q}(t)$ т.е. имеем:

$$C = [c_{kj} = c_{kj}(\langle q_1 q_1 \rangle, \langle q_1 q_2 \rangle, \dots, \langle q_{n-1} q_n \rangle, \langle q_n q_n \rangle)]. \quad (14)$$

Подставив (13) в (8) с учетом зависимостей (5)-(7), получим следующую систему алгебраических уравнений для определения корреляционных моментов вектора $\vec{q}(t)$:

$$s_{q_k q_j} = \int_{-\infty}^{\infty} \sum_{\alpha=1}^n \sum_{\beta=1}^n [L_{k\alpha}(-i\omega) + c_{k\alpha}]^{-1} \cdot [L_{j\beta}(i\omega) + c_{j\beta}] \cdot S_{f_{\alpha} f_{\beta}}(\omega) d\omega. \quad (15)$$

Теперь по формуле (13) можно определить матрицу C и затем (путем решения уравнения (4)) – все вероятностные характеристики искомого процесса $\vec{q}(t)$.

Для примера рассмотрим нелинейную механическую систему с двумя степенями свободы, показанную на рисунке 1. Упругие элементы, изображенные в виде пружин, имеют нелинейные характеристики вида (рисунок 2):

$$F_1 = c_1 \Delta_1 + b_1 \Delta_1^3, \quad \Delta_1 = q_1 - q_2; \quad F_2 = c_2 \Delta_2 + b_2 \Delta_2^3, \quad \Delta_2 = q_2,$$

где: F_1, F_2 – усилия в упругих элементах;

q_1, q_2 – обобщенные координаты системы;
 Δ_1, Δ_2 – деформации упругих элементов;
 c_1, b_1, c_2, b_2 – параметры упругости;
 b – коэффициент линейного демпфирования.

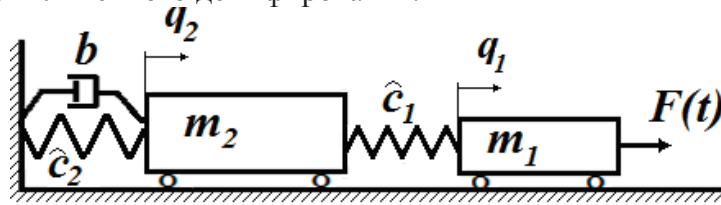


Рисунок 1. Общий вид нелинейной механической системы с двумя степенями свободы:
 m_1, m_2 – массы; $F(t)$ – вынуждающая сила; \hat{c}_1, \hat{c}_2 – линеаризованные параметры жесткостей упругих элементов

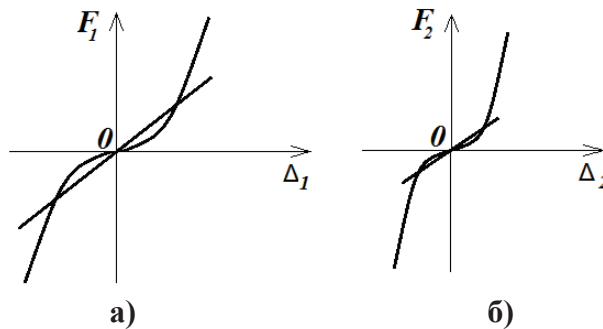


Рисунок 2. Нелинейные характеристики упругих элементов и линеаризирующие прямые: а) – для элемента, соединяющего массы между собой; б) – для элемента, соединяющего массу m_2 со стеной

Нелинейные составляющие упругих характеристик линеаризуем по критерию минимума среднего квадратического отклонения и заменяем на линейные выражения:

$$\Delta_1^3 = (q_1 - q_2)^3 \approx k_1 \cdot (q_1 - q_2); \quad \Delta_2^3 = q_2^3 \approx k_2 \cdot q_2,$$

где: $k_1 = \frac{\langle (q_1 - q_2)^4 \rangle}{\langle (q_1 - q_2)^2 \rangle} = 3(s_{q_1}^2 + s_{q_2}^2 - 2s_{q_1 q_2})$, $k_2 = 3s_{q_2}^2$ – коэффициенты линеаризации;

$s_{q_1}^2, s_{q_2}^2, s_{q_1 q_2}$ – дисперсии и коэффициент корреляции процессов $q_1(t)$ и $q_2(t)$, которые должны быть определены по ходу решения задачи.

После линеаризации упругие характеристики принимают вид:

$$F_1 = \hat{c}_1(q_1 - q_2); \quad F_2 = \hat{c}_2 q_2,$$

где: $\hat{c}_1 = c_1 + b_1 k_1 = c_1 + 3b_1 \cdot (s_{q_1}^2 + s_{q_2}^2 - 2s_{q_1 q_2})$; (16)

$\hat{c}_2 = c_2 + 3b_2 s_{q_2}^2$. (17)

Линеаризованные дифференциальные уравнения движения рассматриваемой системы имеют вид:

$$\begin{cases} m_1 \ddot{q}_1 + \hat{c}_1 \cdot (q_1 - q_2) = F(t); \\ m_2 \ddot{q}_2 - \hat{c}_1 \cdot (q_1 - q_2) + \hat{c}_2 q_2 + b \dot{q}_2 = 0, \end{cases} \quad (18)$$

где: $\hat{c}_1 = \hat{c}_1(s_{q_1}^2, s_{q_2}^2, s_{q_1 q_2})$; $\hat{c}_2 = \hat{c}_2(s_{q_2}^2)$.

Здесь в скобках указаны аргументы функций \hat{c}_1 и \hat{c}_2 .

Передаточные функции $H_1(i\omega)$ от $F(t)$ к $q_1(t)$ и $H_2(i\omega)$ от $F(t)$ к $q_2(t)$ определяются из системы уравнений (18) при $F(t) = e^{i\omega t}$, $q_1 = H_1(i\omega) \cdot e^{i\omega t}$, $q_2 = H_2(i\omega) \cdot e^{i\omega t}$. После подста-

новки и решения получим:

$$H_1(i\omega) = \frac{\hat{c}_1 + \hat{c}_2 - m_2\omega^2 + bi\omega}{(\hat{c}_1 - m_1\omega^2) \cdot (\hat{c}_1 + \hat{c}_2 - m_2\omega^2 + bi\omega) - \hat{c}_1^2}; \quad (19)$$

$$H_2(i\omega) = \frac{\hat{c}_1}{(\hat{c}_1 - m_1\omega^2) \cdot (\hat{c}_1 + \hat{c}_2 - m_2\omega^2 + bi\omega) - \hat{c}_1^2}. \quad (20)$$

Спектральные плотности и взаимная спектральная плотность процессов $q_1(t)$ и $q_2(t)$ будут вычисляться по следующим формулам:

$$S_{q_1}(\omega) = |H_1(i\omega)|^2 \cdot S_F(\omega); \quad (21)$$

$$S_{q_2}(\omega) = |H_2(i\omega)|^2 \cdot S_F(\omega); \quad (22)$$

$$S_{q_1q_2}(\omega) = |H_1(-i\omega)| \cdot |H_2(i\omega)| \cdot S_F(\omega). \quad (23)$$

Дисперсии и коэффициент корреляции процессов $q_1(t)$ и $q_2(t)$ будут выражаться следующими интегралами:

$$s_{q_1}^2 = \int_{-\infty}^{\infty} S_{q_1}(\omega) d\omega; \quad s_{q_2}^2 = \int_{-\infty}^{\infty} S_{q_2}(\omega) d\omega; \quad s_{q_1q_2} = \int_{-\infty}^{\infty} S_{q_1q_2}(\omega) d\omega.$$

Теперь по формулам (16) и (17) определяем величины \hat{c}_1 и \hat{c}_2 , а по формулам (19) и (20) – передаточные функции. После этого по формулам (21), (22) и (23) находим спектральные плотности и взаимную спектральную плотность выходных случайных процессов $q_1(t)$ и $q_2(t)$. Рассматриваемую задачу можно считать решенной.

Таким образом, показано, что метод статистической линеаризации в динамике нелинейных систем с конечным числом степеней свободы эффективен и вполне реализуем.

Литература

1. Вибрации в технике: Справочник в 6 т. Т. 1. Колебания линейных систем /Под ред. В.В. Болотина. – М.: Машиностроение, 1999. – 504 с.
2. Гусев А.С. Вероятностные методы в механике машин и конструкций. М.: МГТУ им. Н.Э. Баумана, 2009. – 223 с.
3. Гусев А.С. Расчет конструкций при случайных воздействиях /А.С. Гусев, В.А. Светлицкий. М.: Машиностроение, 1984. -240 с.
4. Щербаков В.И. Избранные задачи по динамике механических систем и конструкций /В.И. Щербаков, И.С. Чабунин, С.А. Стародубцева. М.: МГТУ «МАМИ», 2010. – 288с.

Закрученные струи за лопаточными завихрителями в свободном пространстве и в камере сгорания ГТД

к.т.н. доц. Эммиль М.В.
Университет машиностроения
8 (495) 223-05-23, доб. 1054

Аннотация. Рассматривается течение закрученного потока воздуха за кольцевыми лопаточными завихрителями в свободном пространстве и в жаровой трубе камеры сгорания ГТД. Представлены профили скоростей и показана интенсивность турбулентности в различных зонах жаровой трубы камеры сгорания.

Ключевые слова: закрученные струйные течения, профили скоростей, турбулентность, жаровая труба камеры сгорания

Закрученные струйные течения широко используются в различных устройствах для сжигания топлива. Закручивание потока воздуха в камере сгорания интенсифицирует процессы турбулентного смешения и, следовательно, процессы горения, поскольку основное влияние на них оказывают газодинамические факторы. Закрутка потока является простым и